

Representación de B1422+231

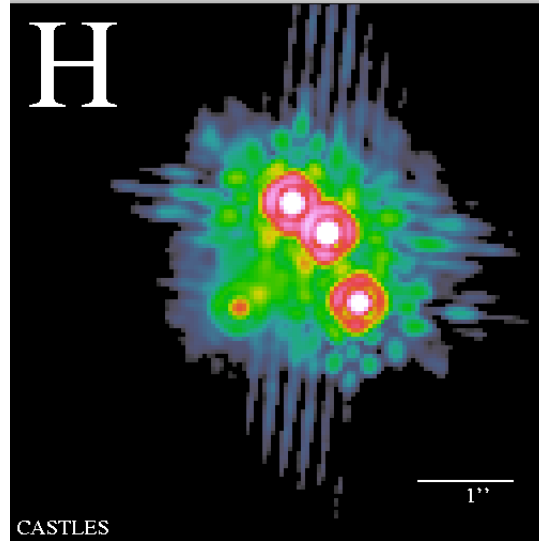


Figura 1: Imagen de <http://www.cfa.harvard.edu/castles/Postagestamps/Gifs/Fullsize/B1422H.gif>

Imagen($n_x=1000$) obtenida con una fuente de anillos circulares concéntricos ($n_y = 200$) a través de una SIS ($\gamma = 0.6$, $x_{01} = -0.10$, $x_{02} = -0.20$)

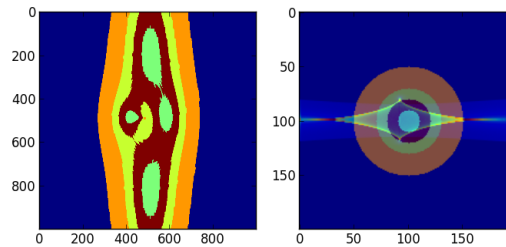


Figura 2: $x_l=4, y_l=4$

Imagen de una fuente (hubble deep field) a través de una lente gravitacional (esfera singular isoterma)

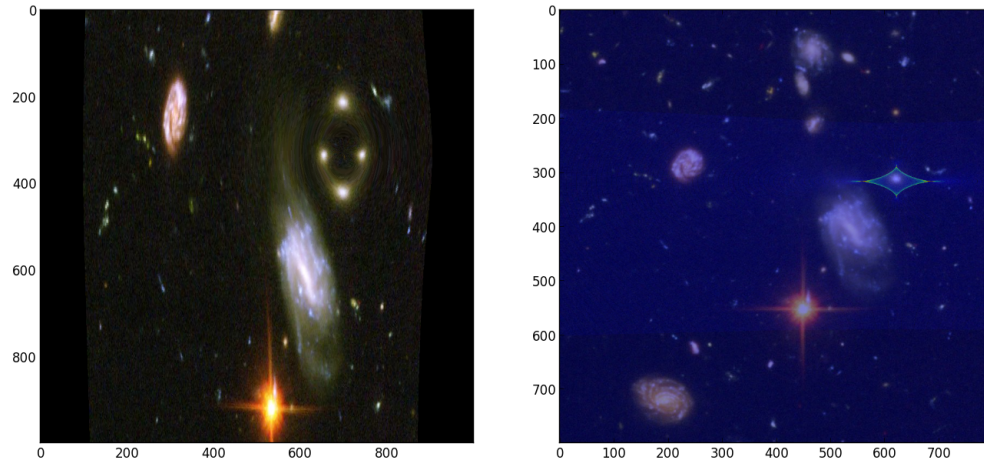


Figura 3: $SIS(\gamma=0.5, x_{01}=-2.76, x_{02}=3.15), ny=800, nx=1000, xl=8, yl=8$

Mapa de magnificación en el caso de un sistema binario

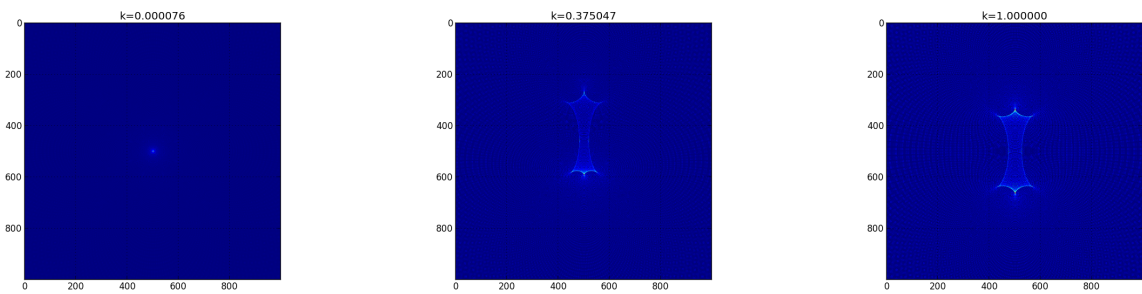


Figura 4: $k=M1/M2$

Mapa de magnificación en el caso de un sistema binario(estrella-planeta)
 $M1/M2 = 7.6 * 10^{(-5)}$, $a = 1.61$, $ny = 100$, $nx = 30000$, $x1 = 1$, $y1 = 0.00025$

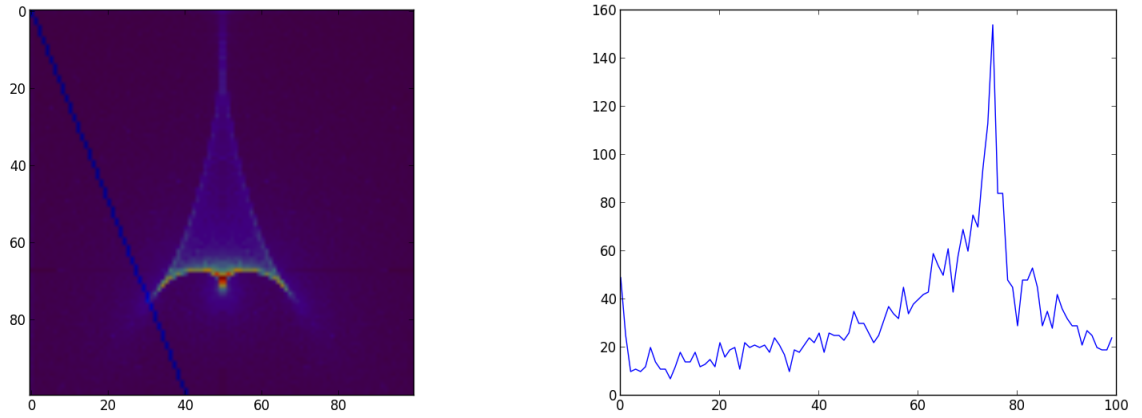


Figura 5: A la derecha el corte del mapa de magnificación al largo de la curva:
 $y = \text{abs}(\tan(\theta) * x + u0 * (\cos(\theta) + \sin(\theta) * \tan(\theta)))$, $u0 = 0.359$, $\theta = 2.756 \text{ rad}$

Imágenes de una fuente de anillos concéntricos (cruzando la caustica) y
 mapas de magnificación correspondientes

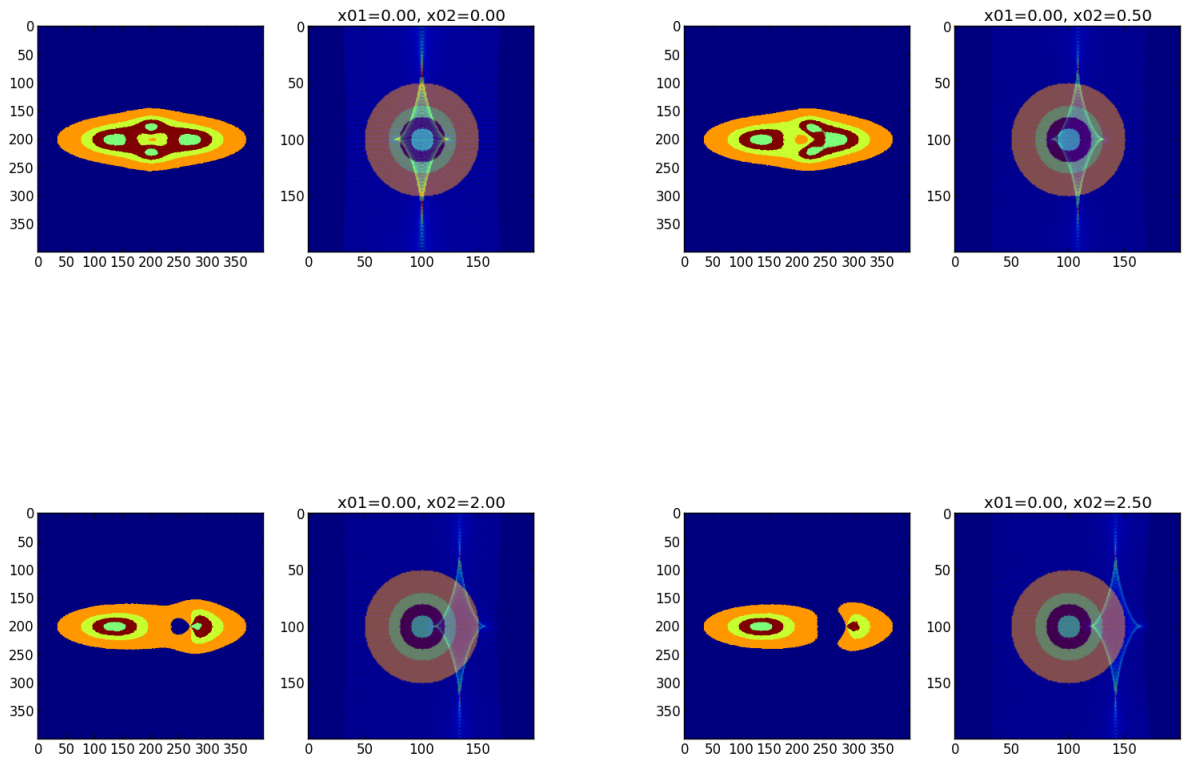


Figura 6: $SIS \text{ gamma} = -0.5$